

Fig. 1

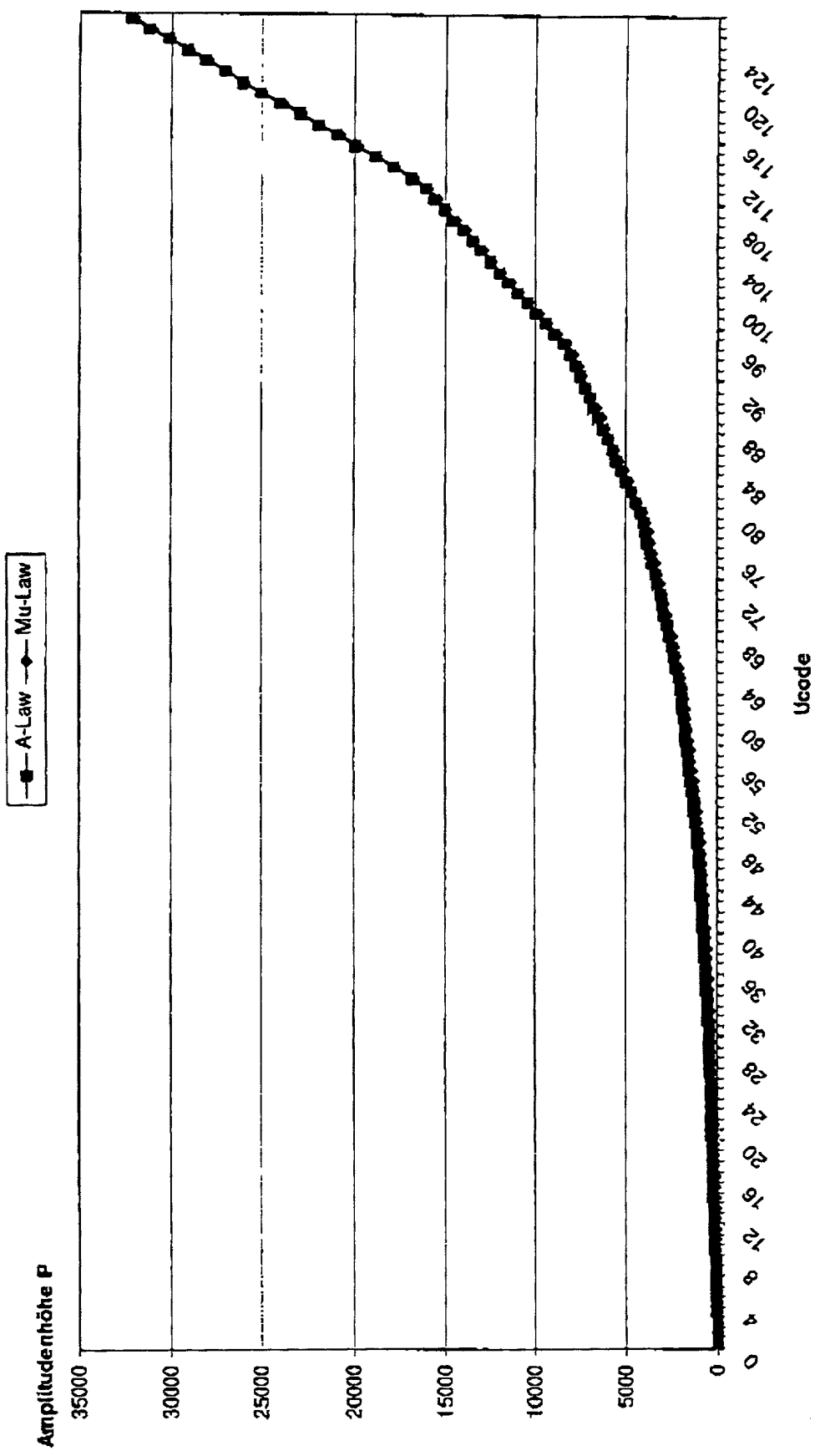


Fig. 2

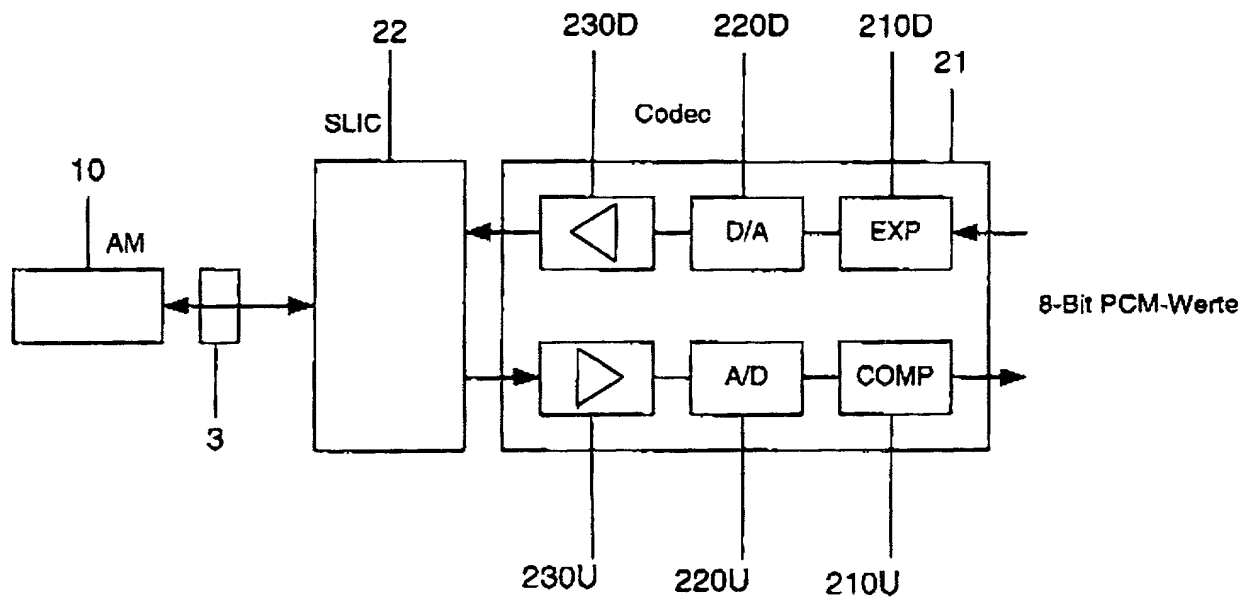


Fig. 3

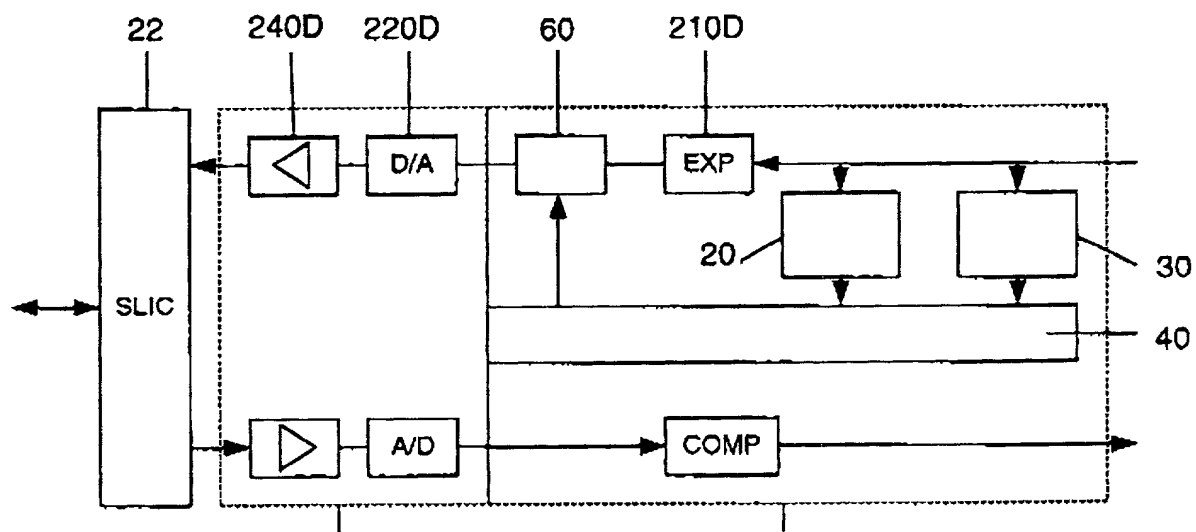


Fig. 4

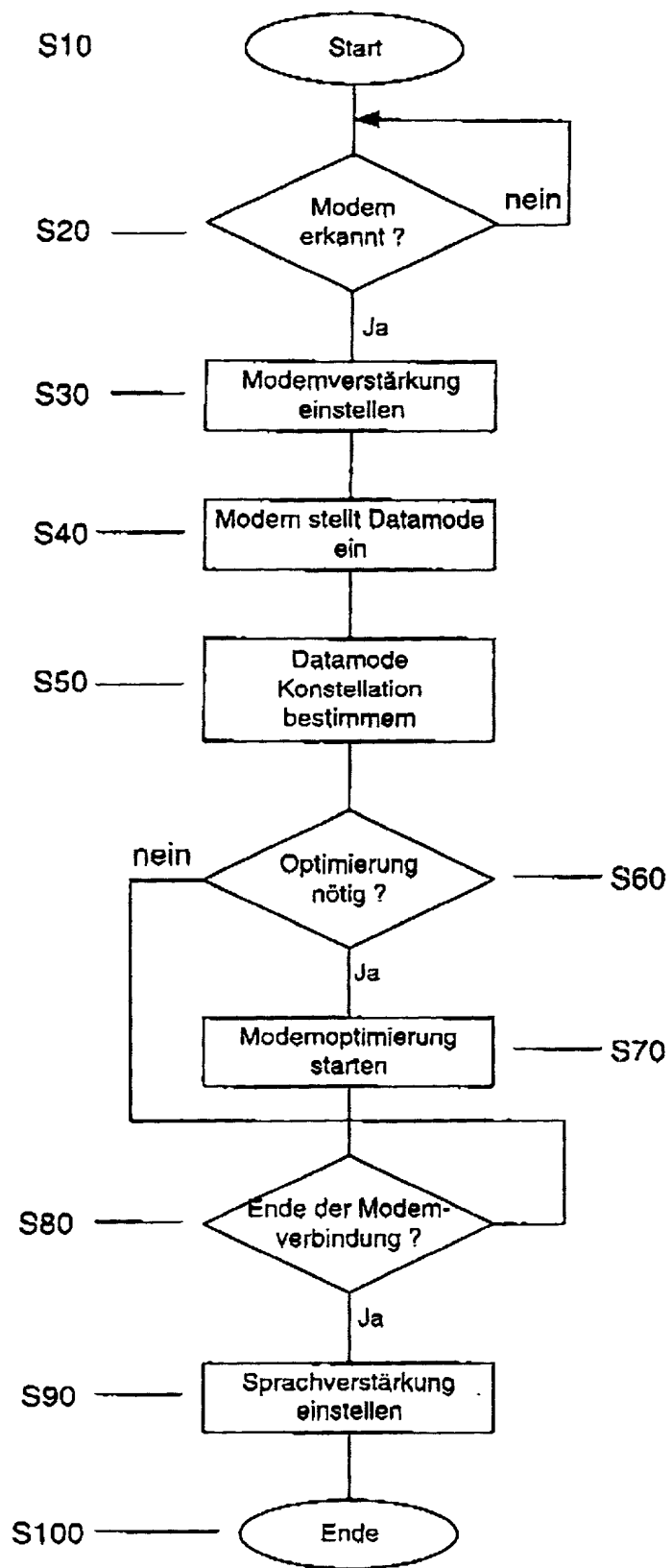


Fig. 5a

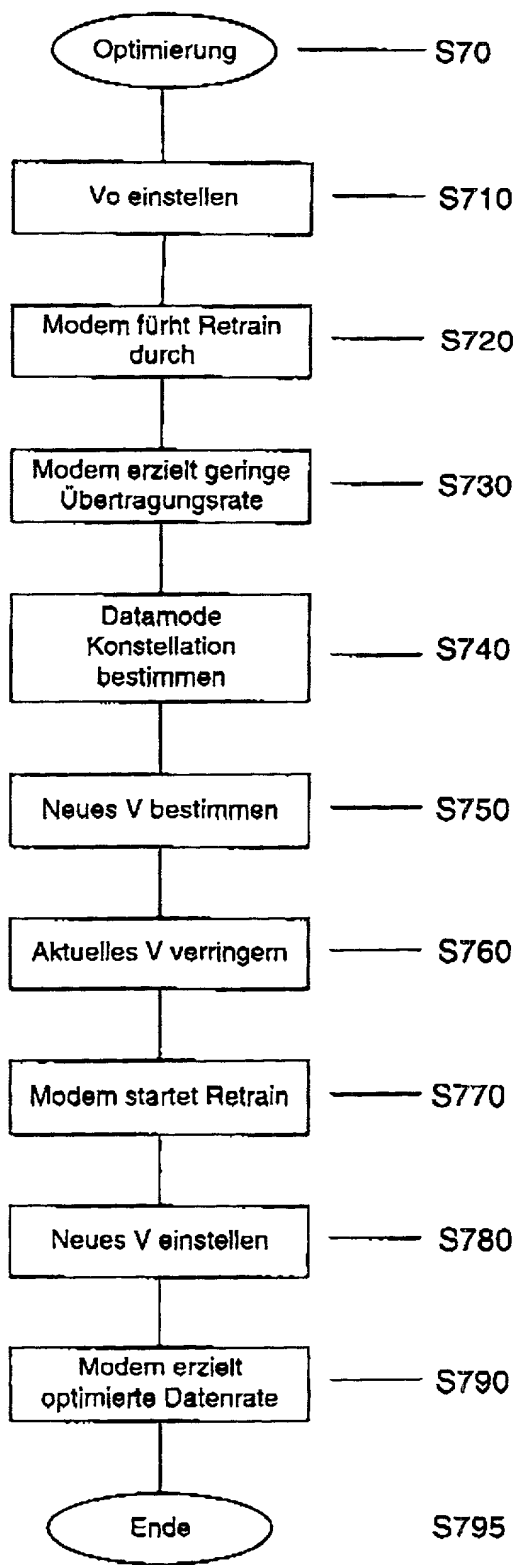


Fig. 5b

Verstärkungs-
faktor

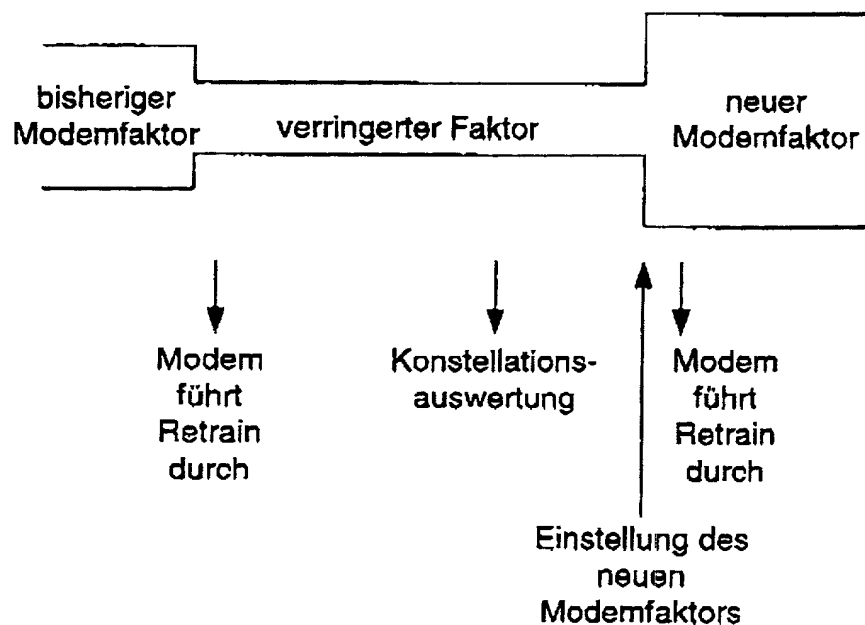


Fig. 5c

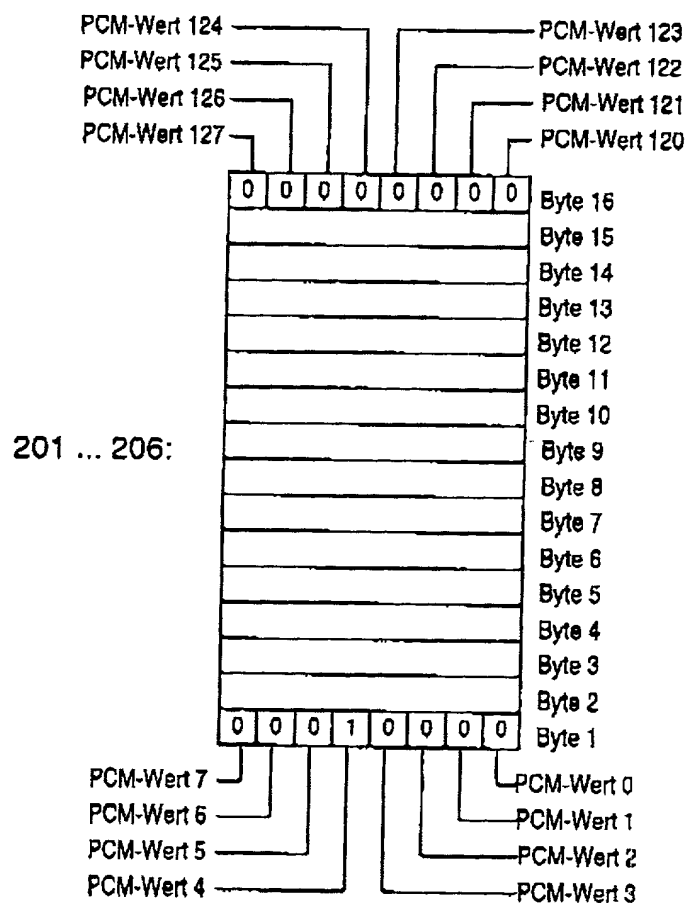


Fig. 6a

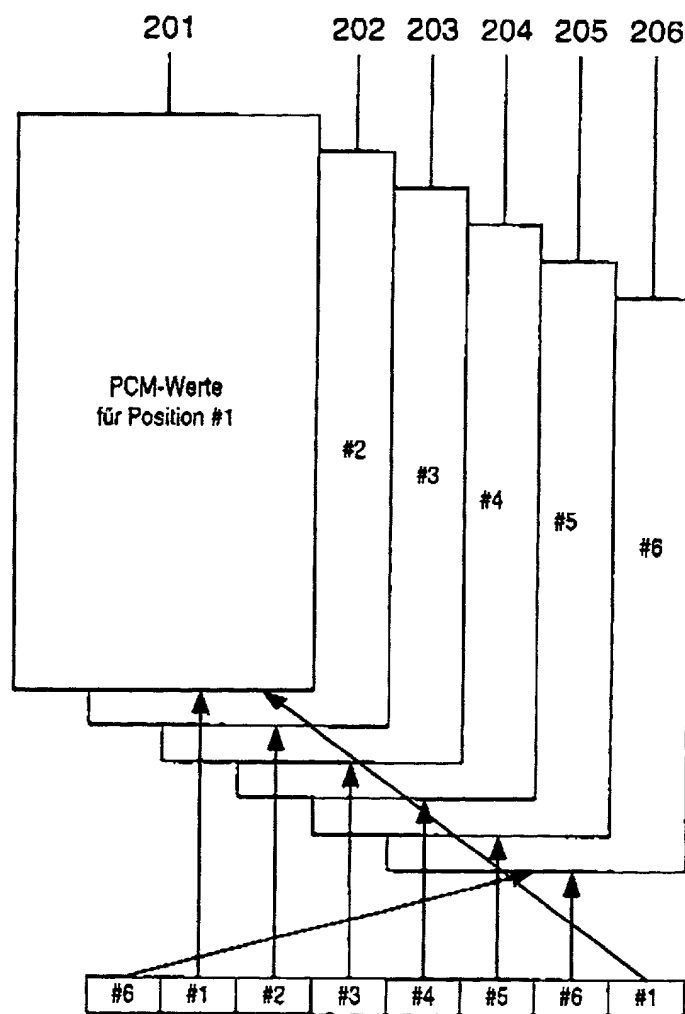


Fig. 6b

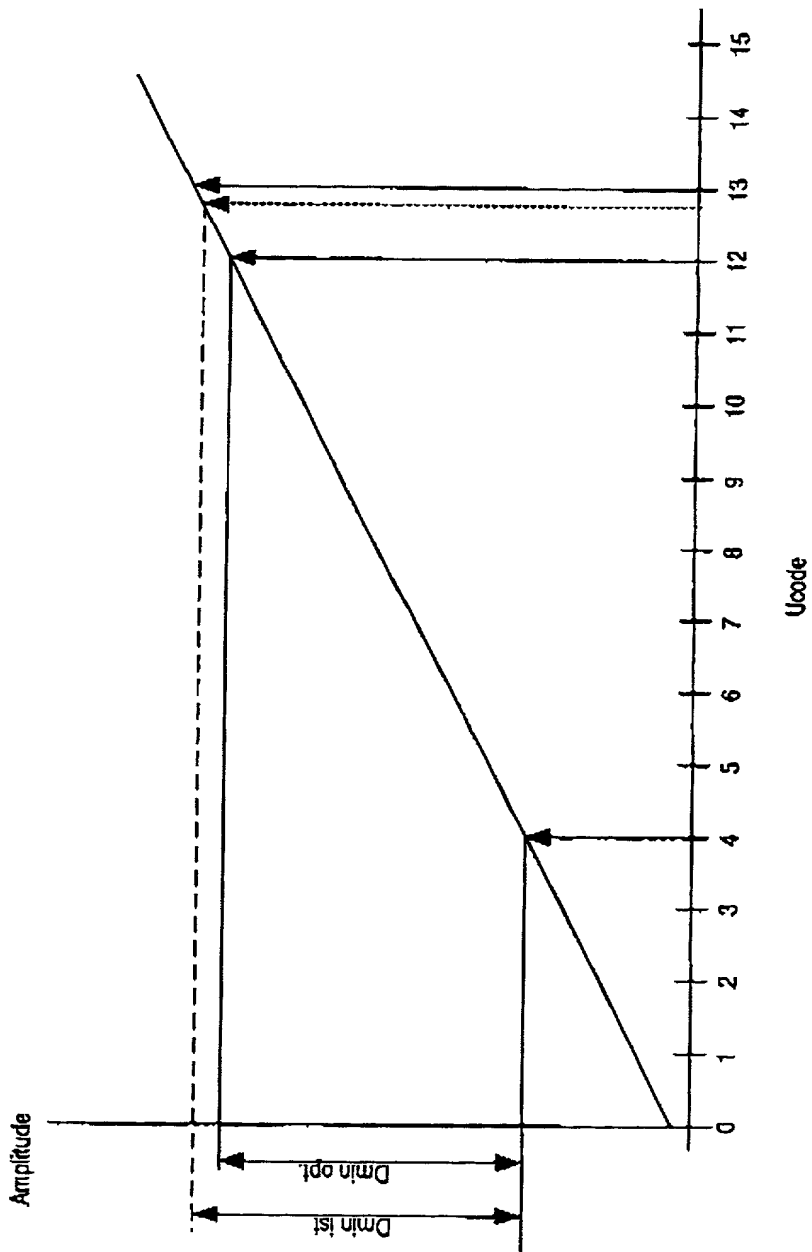


Fig. 6c

Ucode	Mu-Law	A-Law	Sprachdämpf.	Optimiert 50.6	Optimiert 52	Optimiert 54.6
0	0	8				
1	8	24				
2	16	40				
3	24	56				40
4	32	72		72	56	
5	40	88				
6	48	104				104
7	56	120				
8	64	136	136		136	
9	72	152				
10	80	168				168
11	88	184				
12	96	200		200		
13	104	216			216	
14	112	232				232
15	120	248				
16	132	264				
17	148	280				
18	164	296			296	295
19	180	312				
20	196	328		328		
21	212	344				
22	228	360				360
23	244	376			376	
24	260	392	392			
25	276	408				
26	292	424				424
27	308	440				
28	324	456		456	456	
29	340	472				
30	356	488				488
31	372	504				
32	396	528				
33	428	560			560	560
34	460	592		592		
35	492	624				624
36	524	656	656		656	
37	556	688				688
38	588	720		720		
39	620	752			752	752
40	652	784				
41	684	816				816
42	716	848		848	848	
43	748	880				880
44	780	912	912			
45	812	944			944	944
46	844	976		976		
47	876	1008				1008
48	924	1056			1056	
49	988	1120		1120		1120
50	1052	1184	1184		1184	1184
51	1116	1248		1248		1248
52	1180	1312			1312	1312
53	1244	1376		1376		1376
54	1308	1440	1440		1440	1440
55	1372	1504		1504		1504
56	1436	1568			1568	1568
57	1500	1632		1632		1632
58	1564	1696	1696		1696	1696
59	1628	1760		1760		1760
60	1692	1824			1824	1824

Fig. 7 - 1

Ucode	Mu-Law	A-Law	Sprachdämpf.	Optimiert 50.8	Optimiert 52	Optimiert 54.6
61	1756	1888		1888		1888
62	1820	1952	1852		1952	1952
63	1884	2016		2016		2016
64	1980	2112			2112	2112
65	2108	2240	2240	2240	2240	2240
66	2236	2368		2368	2368	2368
67	2364	2496	2496	2496	2496	2496
68	2492	2624		2624	2624	2624
69	2620	2752	2752	2752	2752	2752
70	2748	2880		2880	2880	2880
71	2876	3008	3008	3008	3008	3008
72	3004	3136		3136	3136	3136
73	3132	3264	3264	3264	3264	3264
74	3260	3392		3392	3392	3392
75	3388	3520	3520	3520	3520	3520
76	3516	3648		3648	3648	3648
77	3644	3776	3776	3776	3776	3776
78	3772	3904		3904	3904	3904
79	3900	4032	4032	4032	4032	4032
80	4092	4224		4224	4224	4224
81	4348	4480	4480	4480	4480	4480
82	4604	4736	4736	4736	4736	4736
83	4860	4992	4992	4992	4992	4992
84	5116	5248	5248	5248	5248	5248
85	5372	5504	5504	5504	5504	5504
86	5628	5760	5760	5760	5760	5760
87	5884	6016	6016	6016	6016	6016
88	6140	6272	6272	6272	6272	6272
89	6396	6528	6528	6528	6528	6528
90	6652	6784	6784	6784	6784	6784
91	6908	7040		7040	7040	7040
92	7164	7296		7296	7296	7296
93	7420	7552		7552	7552	7552
94	7676	7808		7808	7808	7808
95	7932	8064		8064	8064	8064
96	8316	8448			8448	
97	8828	8960			8960	
98	9340	9472			9472	
99	9852	9984				
100	10384	10496				
101	10876	11008				
102	11388	11520				
103	11900	12032				
104	12412	12544				
105	12924	13056				
106	13436	13568				
107	13948	14080				
108	14460	14592				
109	14972	15104				
110	15484	15616				
111	15996	16128				
112	16764	16896				
113	17788	17920				
114	18812	18944				
115	19836	19968				
116	20860	20992				
117	21884	22016				
118	22908	23040				
119	23932	24064				
120	24956	25088				
121	25980	26112				

Fig. 7 - 2

Ucode	Mu-Law	A-Law	Sprachdampf.	Optimiert 50.6	Optimiert 52	Optimiert 54.8
122	27004	27136				
123	28028	28160				
124	29052	29184				
125	30076	30208				
126	31100	31232				
127	32124	32256				

Fig. 7 - 3

Ucode	Puffer 1	Differenz	Puffer 2	Differenz	Puffer 3	Differenz	Puffer 4	Differenz	Puffer 5	Differenz	Puffer 6	Differenz
0												
1												
2												
3												
4												
5												
6												
7												
8												
9			152		152		152		152			
10	168											
11												
12												
13												
14												
15												
16												
17												
18												
19												
20												
21												
22												
23												
24												
25												
26							424	272				
27												
28									456	304		
29	472	304			472	320					472	
30			488	336								
31												
32												
33												
34												
35												
36												
37							668	264				
38												
39									752	296		
40	784	312			784	312					784	312
41			816	328								
42												
43												
44												
45												
46												
47							1008	320				
48									1056	304		
49	1120	336			1120	336					1120	336
50			1184	368								
51												
52							1312	304				
53									1376	320		
54	1440	320			1440	320					1440	320
55			1504	320								
56												
57							1632	320				
58									1696	320		
59	1760	320			1760	320					1760	320
60			1824	320								

Fig. 8 - 1

Ucode	Puffer 1	Differenz	Puffer 2	Differenz	Puffer 3	Differenz	Puffer 4	Differenz	Puffer 5	Differenz	Puffer 6	Differenz
61												
62							1952	320				
63									2016	320		
64	2112	352			2112	352					2112	352
65			2240	416			2240	288				
66									2368	352		
67	2496	384			2496	384					2496	384
68			2624	384			2624	384				
69									2752	384		
70	2880	384			2880	384					2880	384
71			3008	384			3008	384				
72									3136	384		
73	3264	384			3264	384					3264	384
74							3392	384				
75			3520	512					3520	384		
76	3648	384			3648	384					3648	384
77							3776	384				
78			3904	384					3904	384		
79	4032	384			4032	384					4032	384
80			4224	320			4224	448	4224	320		
81	4480	448			4480	448					4480	448
82			4736	512			4736	512	4736	512		
83	4992	512			4992	512					4992	512
84			5248	512			5248	512	5248	512		
85	5504	512			5504	512					5504	512
86			5760	512			5760	512	5760	512		
87	6016	512			6016	512					6016	512
88			6272	512			6272	512	6272	512		
89	6528	512			6528	512					6528	512
90			6784	512			6784	512	6784	512		
91	7040	512			7040	512					7040	512
92							7296	512	7296	512		
93												
94												
95												
96												
97												
98												
Durchschnitt	324		348		326,27		289,29		316,57		328	
Gesamtdurchschnitt		323,59										

Fig. 8 - 2

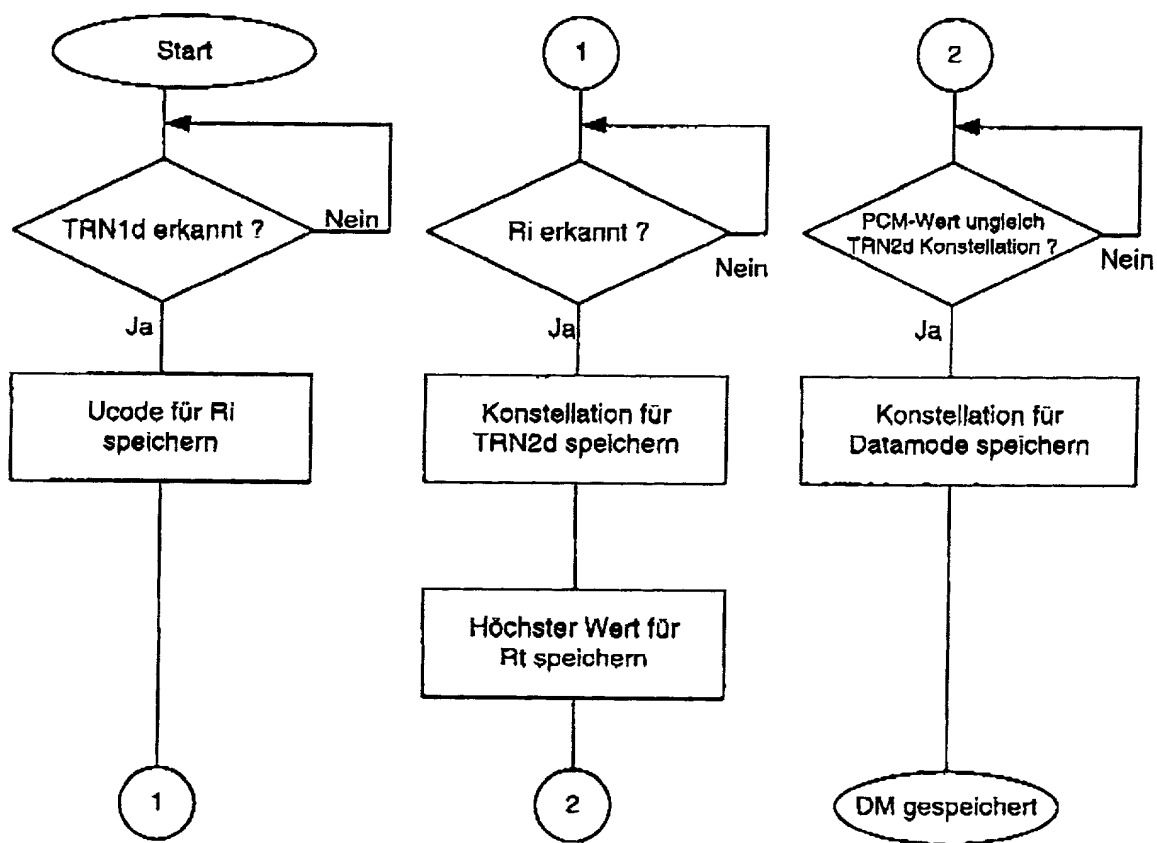


Fig. 9

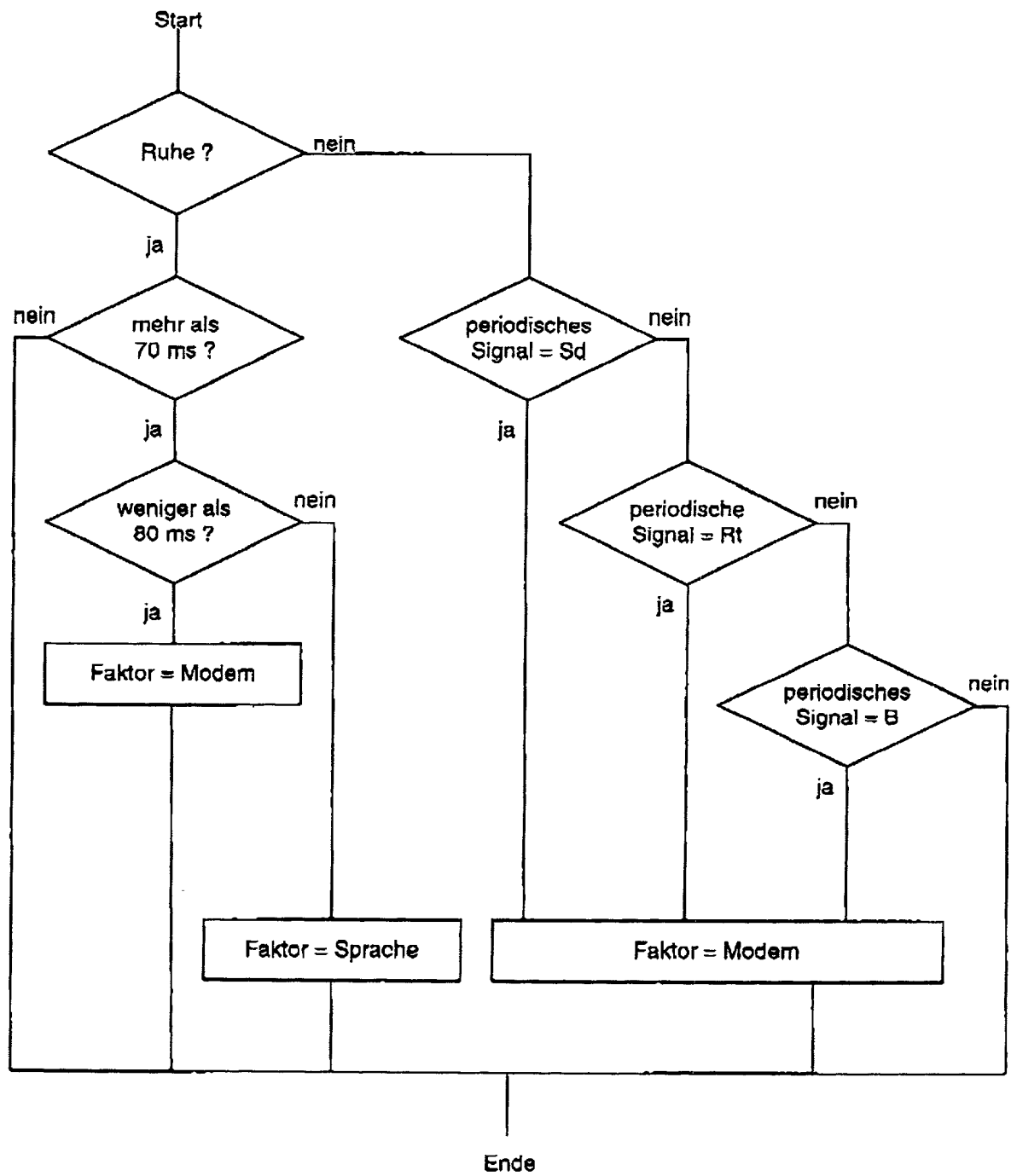


Fig. 10

digitales Sprachmodem mit 75 bis 9600 bps

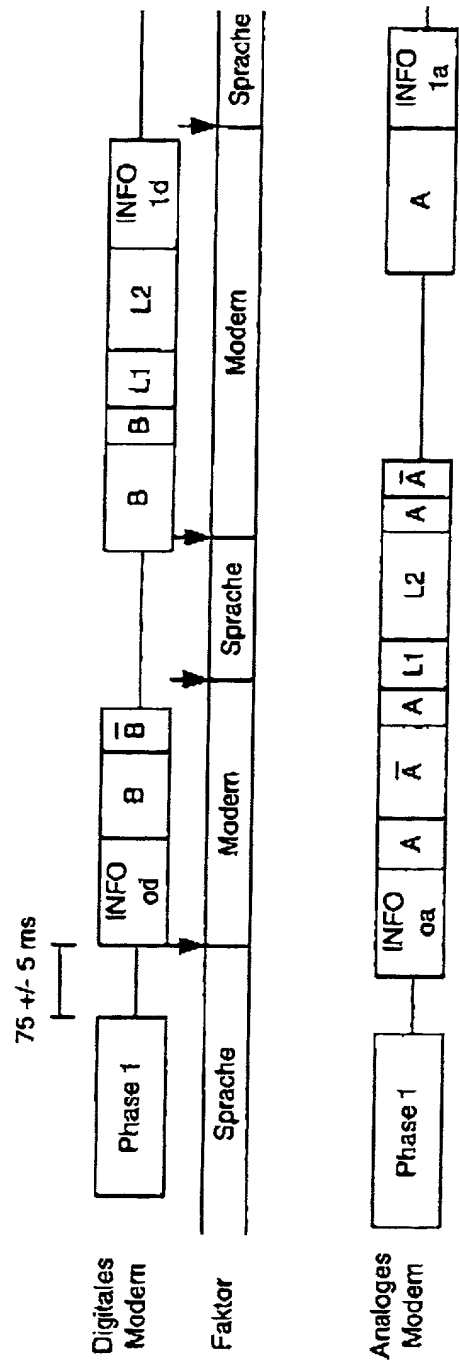


Fig. 11a

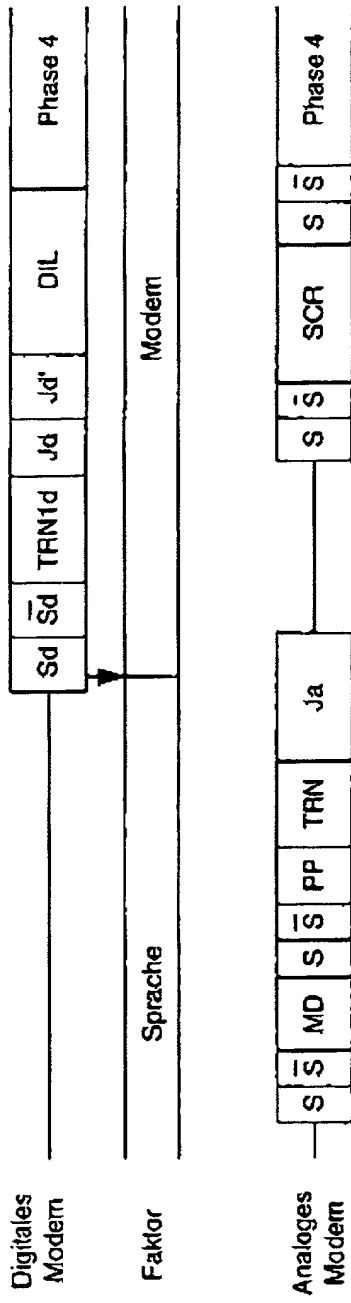


Fig. 11b

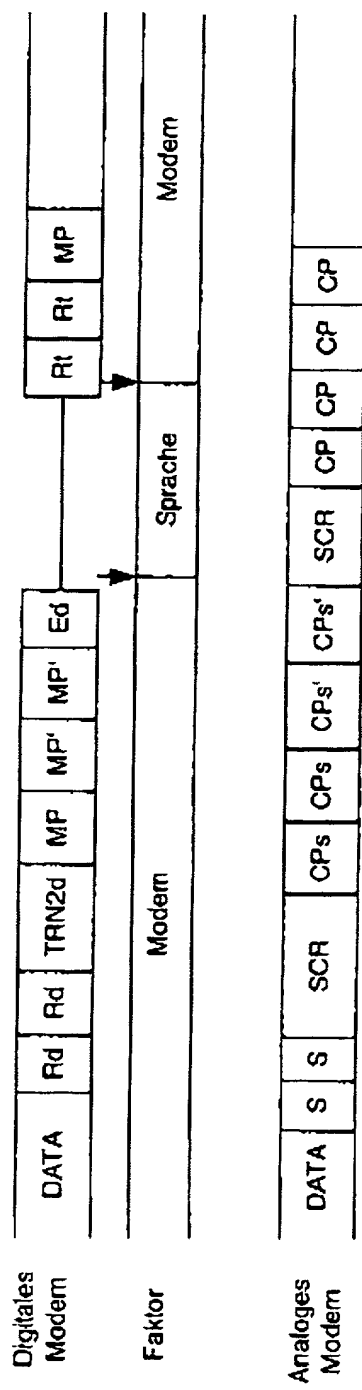


Fig. 11c

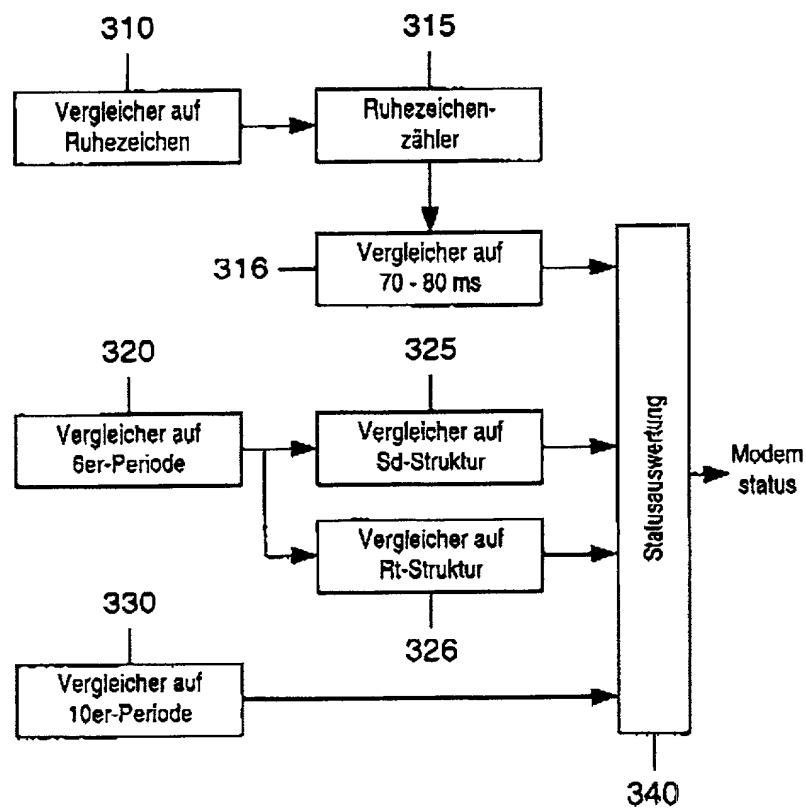
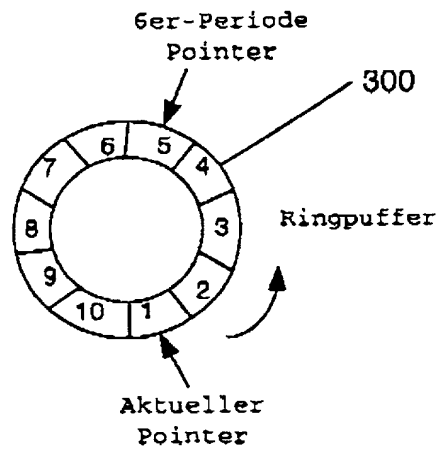


Fig. 12

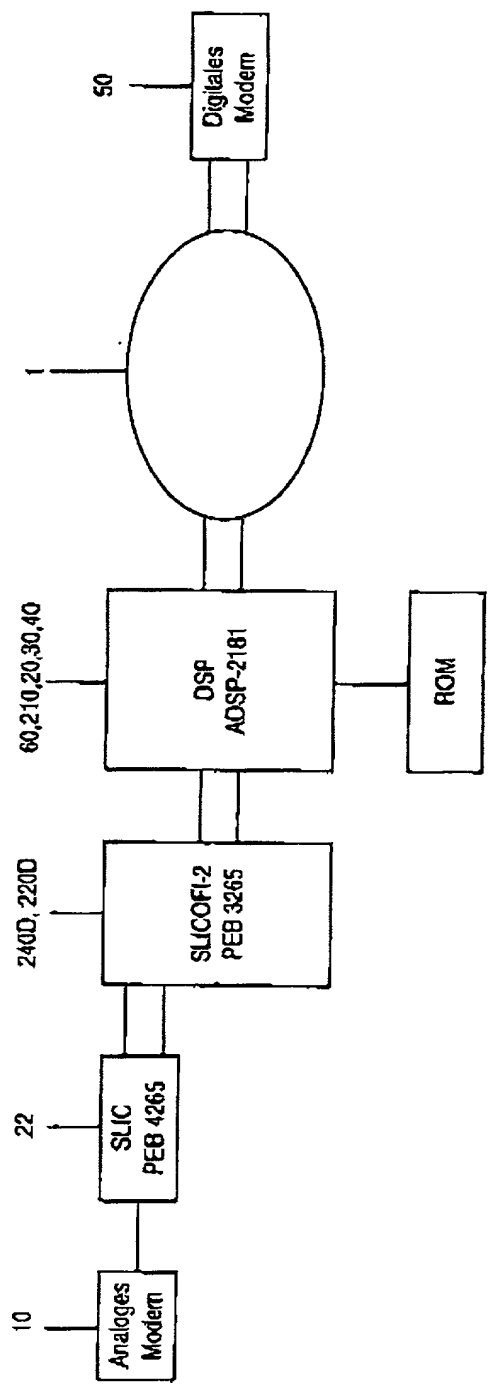


Fig. 13